Позитронная Аннигиляционная Спектроскопия С.В. Степанов

Институт теоретической и экспериментальной физики

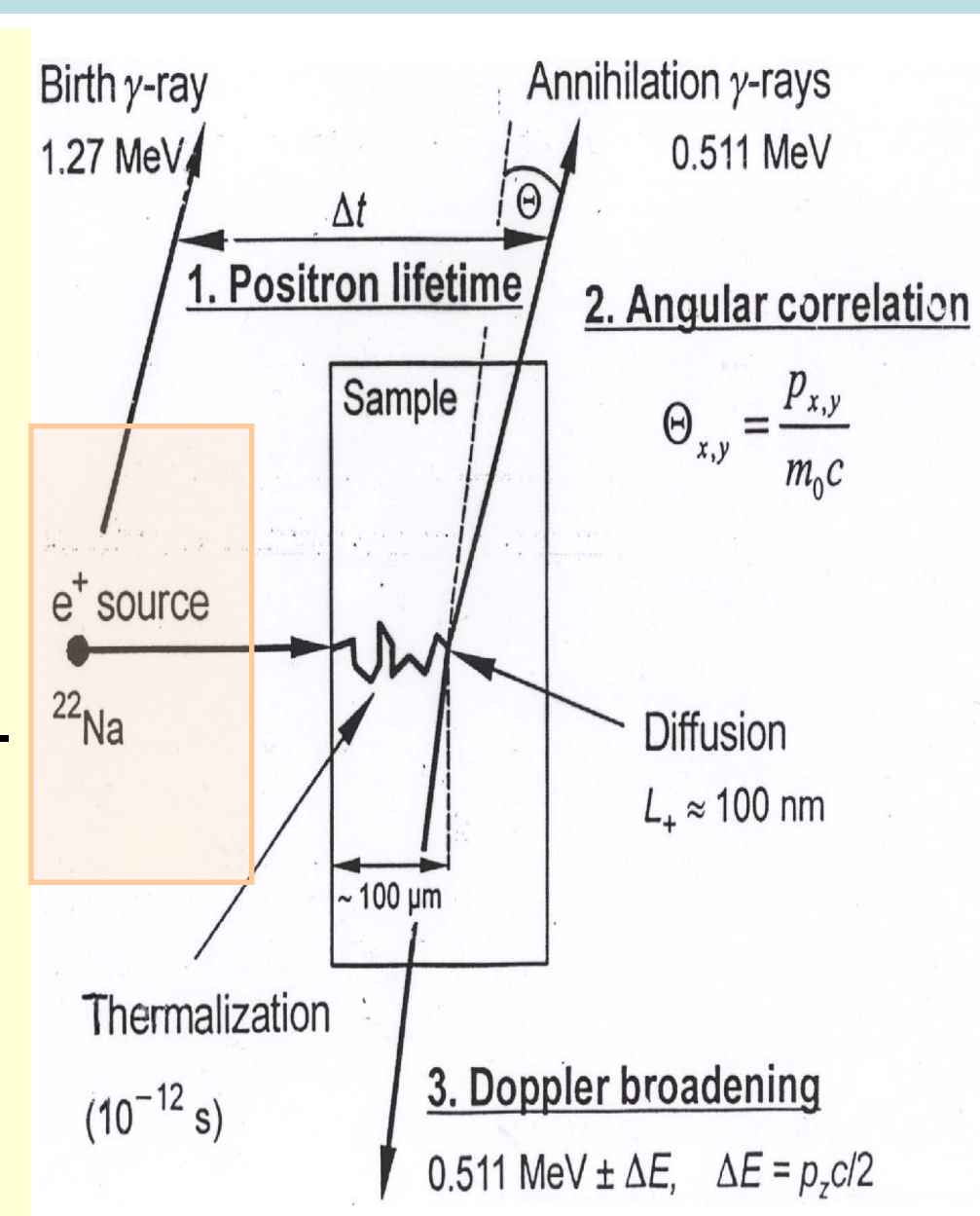
- -- Что такое ПАС?
- -- Источники е+
- -- Законы сохранения энергии и импульса
- -- Типичные эксперименты (PALS, ACAR, DBARS, PAES)
- -- Позитронная эмиссионная томография (ПЭТ)
- -- Атом позитрония (Ps), процесс его pick-off аннигиляции
- -- Структура трека быстрого е+ в диэлектрических средах
- -- Образование Ps. Ps пузырьк в жидкостях
- -- Определение канцерогенности хим. соединений

Позитронная Аннигиляционная Спектроскопия

Суть ПАС состоит в инжекции е⁺ в образец и последующей регистрации параметров аннигиляционных у-квантов.

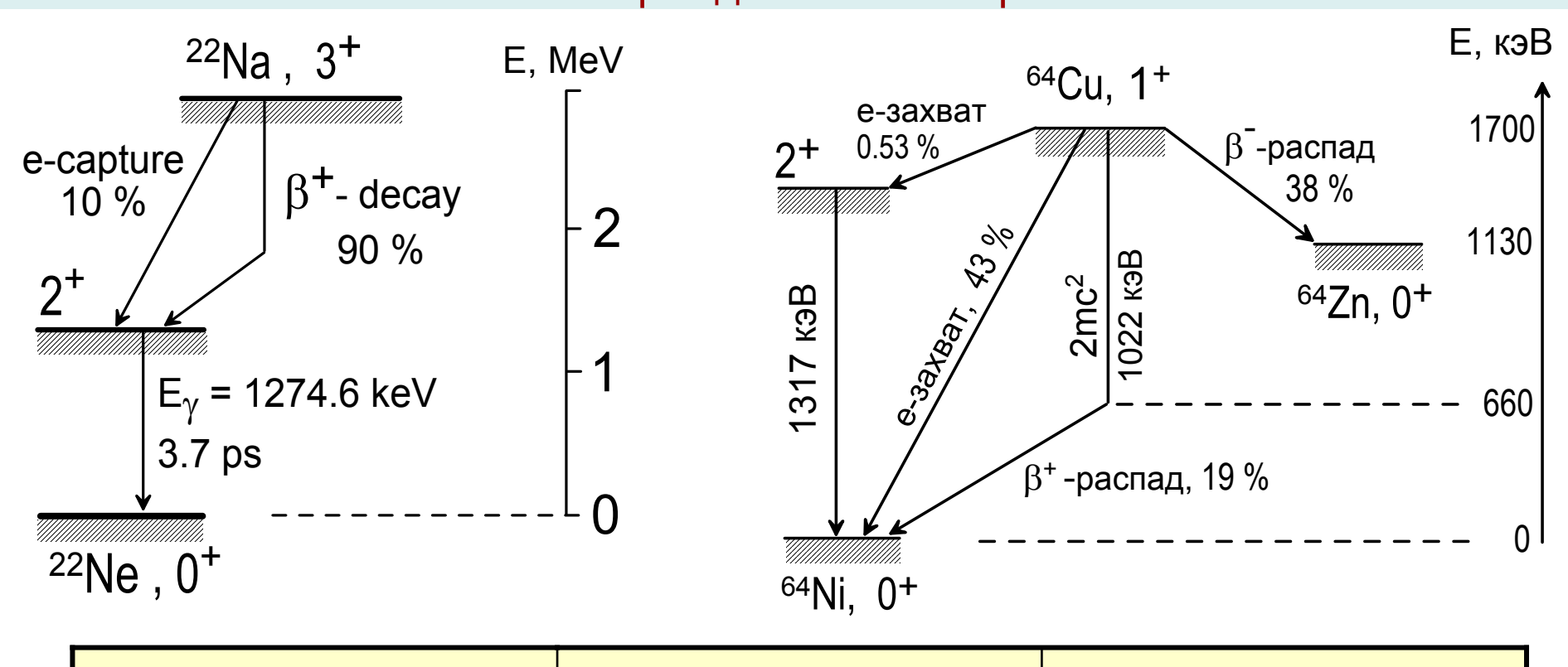
Три основные метода ПАС:
1) временной (измерение времён жизни е⁺ состояний);
2) угловой (измерение отклонения угла разлета аннигиляционных фотонов от 180°)
3) доплеровский (измерение энергии аннигиляционного

γ-кванта)



Источники позитронов – радиоактивные изотопы,

или рождение е+е- пар



¹¹ С – 20 мин	¹⁹ Ne – 17.4 сек	⁵⁸ Co – 71 день
¹³ N – 10 мин	²² Na – 2.6 года	⁵⁷ Ni – 36 часов
¹⁵ O – 123 мин	²⁶ AI – ~ 8·10 ⁵ лет	⁶⁴ Cu – 12.8 часов
¹⁸ F — 110 мин	⁴⁴ Ti – 47 лет	⁶⁸ Ge – 275 часов

Energy and momentum conservation for 2γ-annihilation $t_{ann} \sim \hbar/mc^2 \sim 10^{-21} \text{ s}$ - annihilation occurs in a "point"

$$\Delta x \sim c \cdot t_{ann} pprox 0.004 \ {
m \AA}$$
 - annihilation takes very short

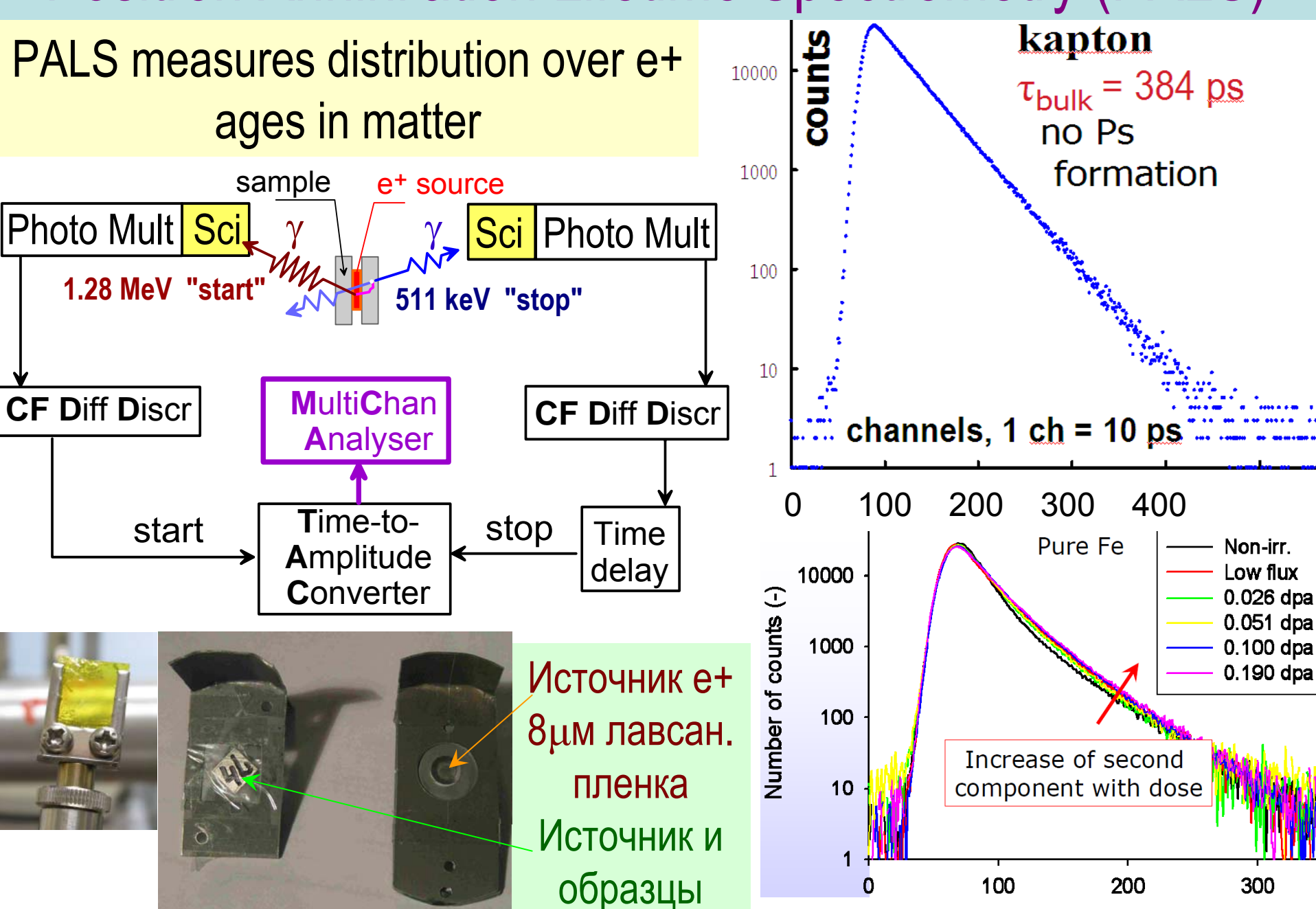
$$t_{ion} \le 10 \text{ ps}; \quad t_{e^+} \sim 0.1\text{-}10 \text{ ns}$$
 time

$$2mc^2+rac{p_-^2+p_+^2}{2m}-E_{bound}pprox c(p_1+p_2)$$
 Наблюдаемые в угловых изм.:

$$\mathbf{p} \equiv \mathbf{p}_+ + \mathbf{p}_- = \mathbf{p}_1 + \mathbf{p}_2$$
 в угловых изм.: $\theta \to \langle p_z \rangle_{p_x;p_y}$

во вре-
$$\frac{\lambda_i^{2\gamma}}{\lambda_i^{2\gamma}} = \pi r_0^2 c \int n_+^{(i)}(r) n_-(r) d^3 r \\ \text{ е+ состояний}$$

Positron Annihilation Lifetime Spectrometry (PALS)



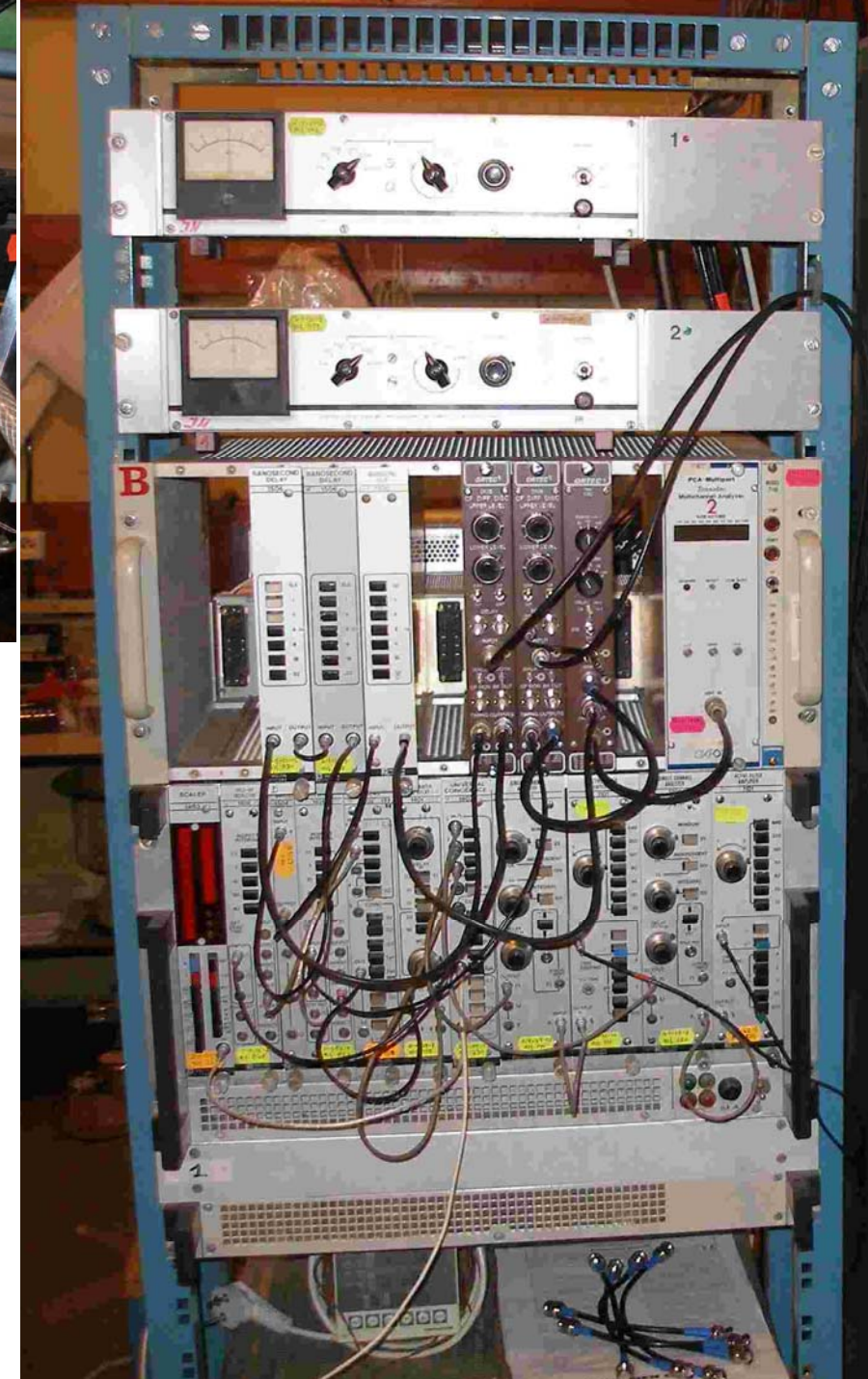




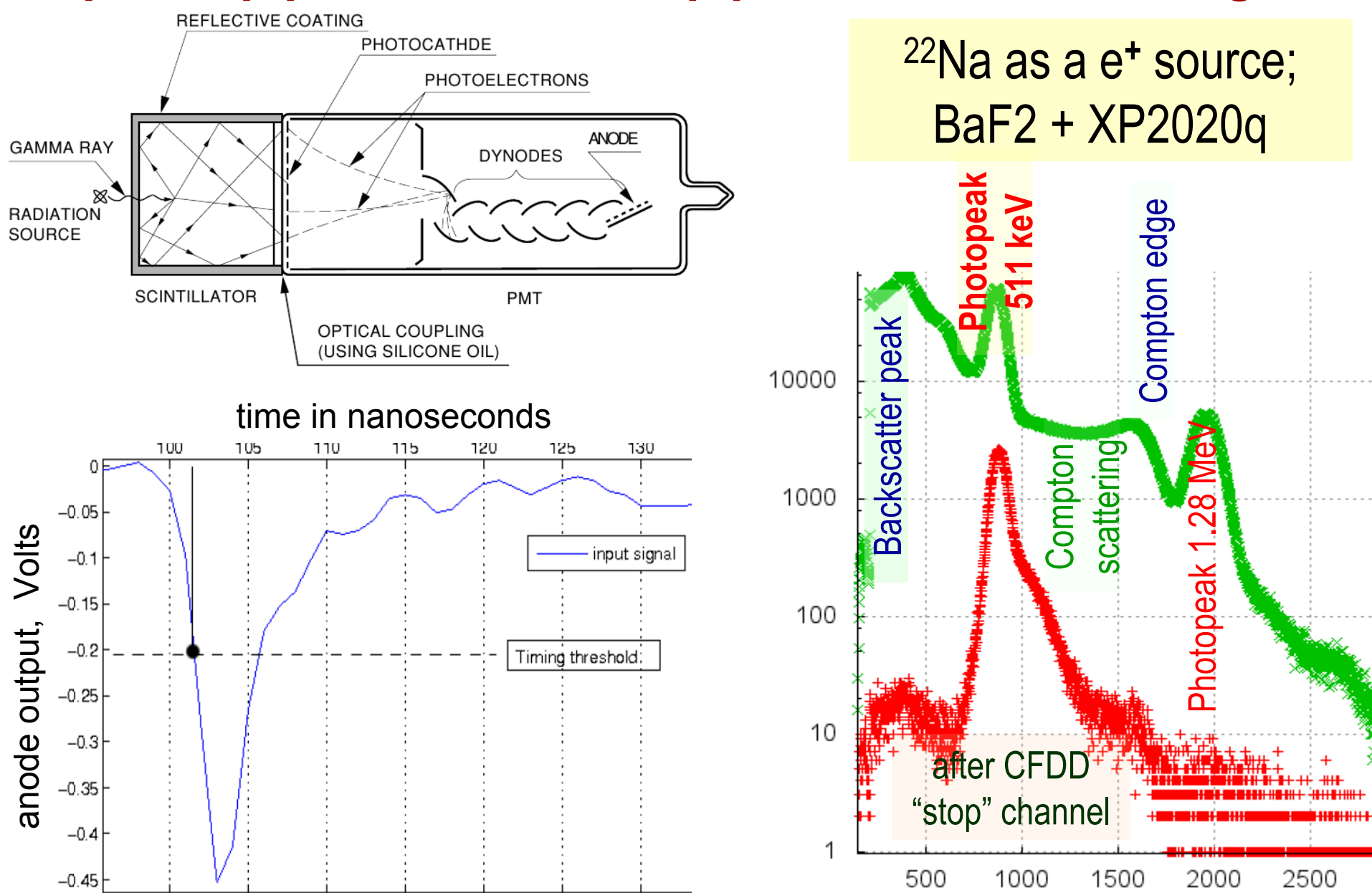


Detector = scintillator BaF₂ + PMT (XP2020q)





Яд. физ. аспекты и наносекундная электроника: фотоэффект, комптон-эффект, ФЭУ, fast timing...



е «втягивается» в металл (притяжение к ядрам) е⁺ выталкиватся из металла в «свободный объем» (доминирует отталкивание от ядер)

Энергия, необходимая для того, что бы затолкнуть е+/е- в бездефектный металл (work function)

Φ_, eV

-4.5

-4.4

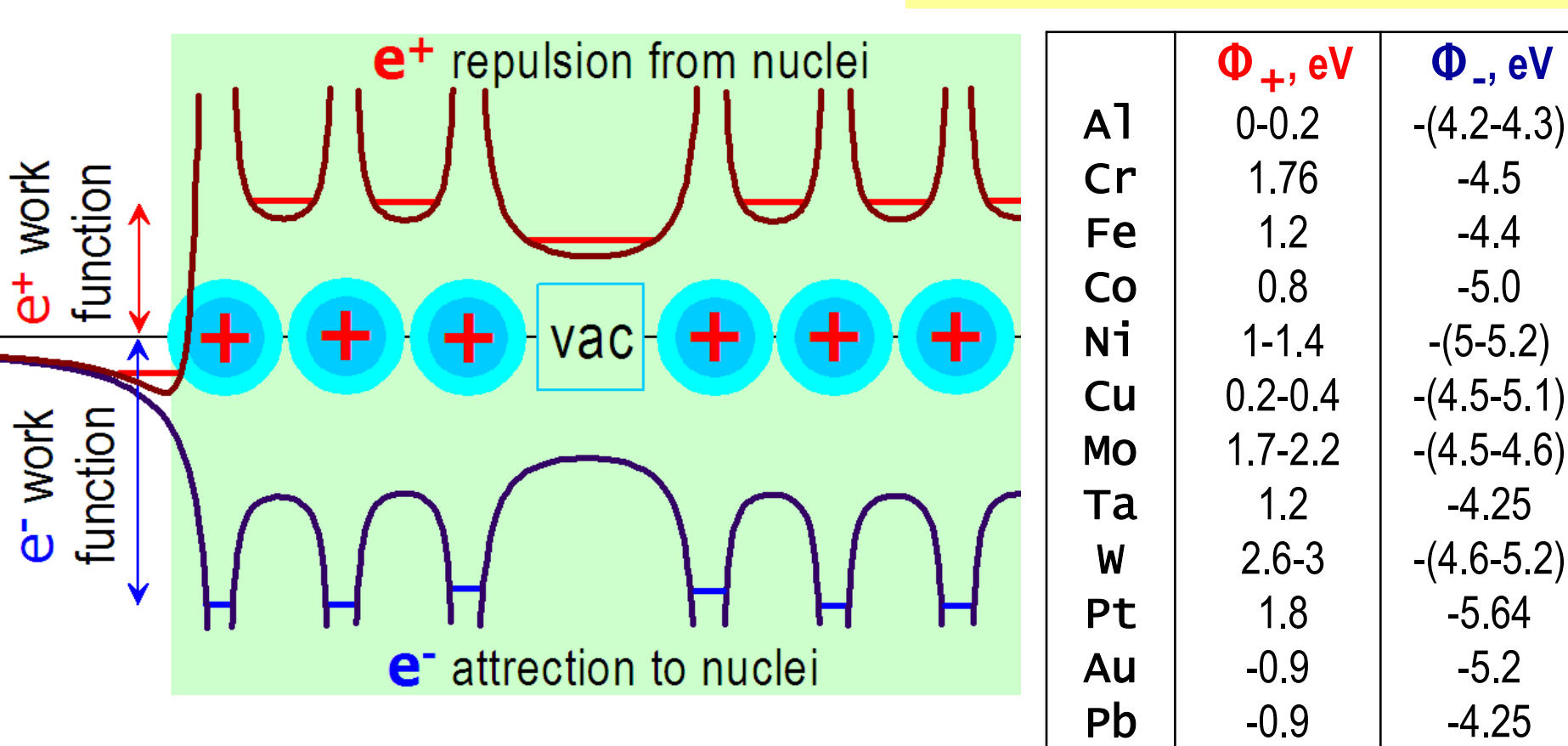
-5.0

-4.25

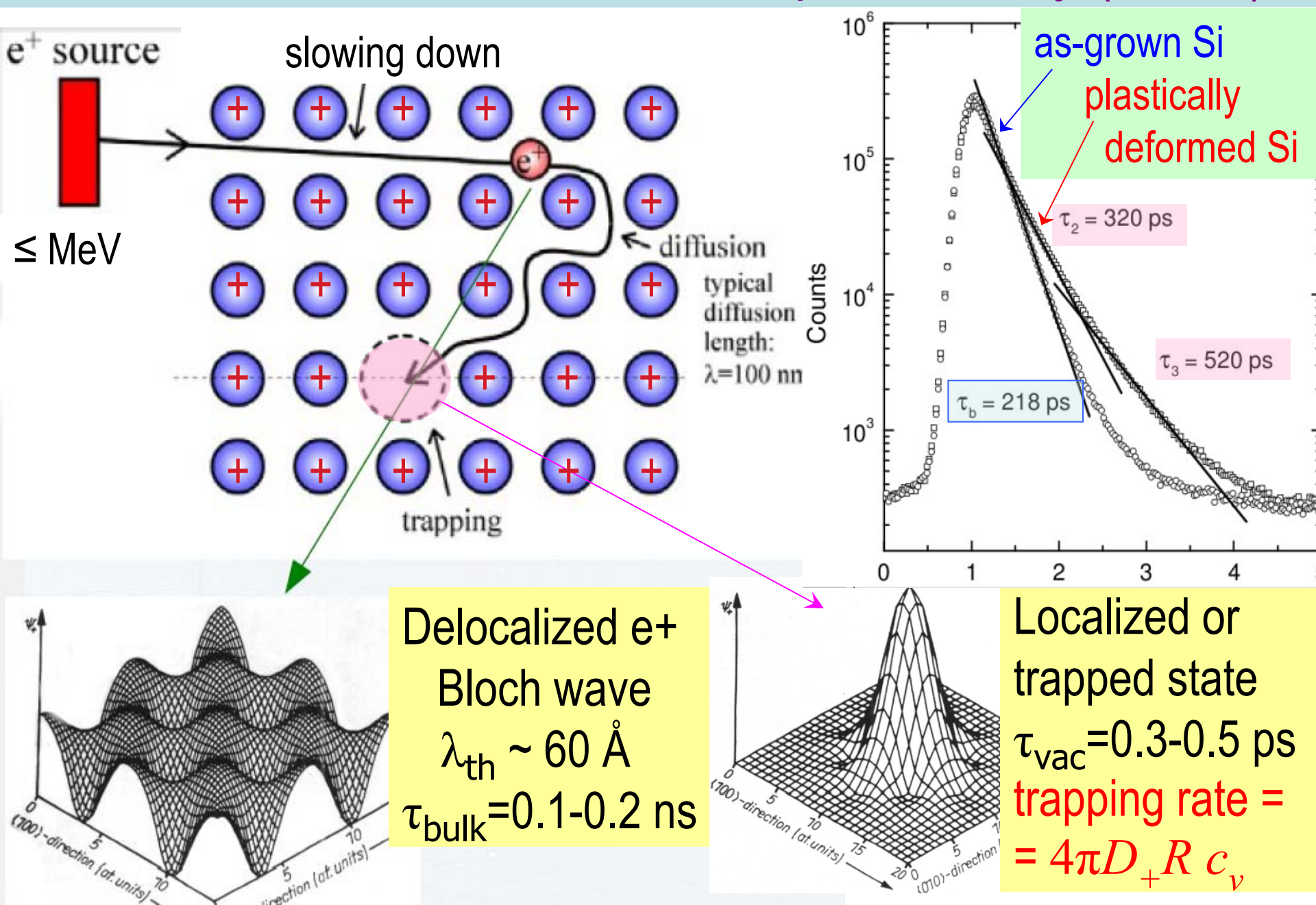
-5.64

-5.2

-4.25



Positron Annihilation Lifetime Spectrometry (PALS)



Оценка минимальной концентрации дефектов, которую «видят» позитроны

Примем, что порогом регистрации дефектов является 10%-е изменение скорости λ_{bulk} аннигиляции е+ в бездефектном объеме образца (за счет его захвата на дефекты), то есть

Скорость захвата е+ дефектами равна:

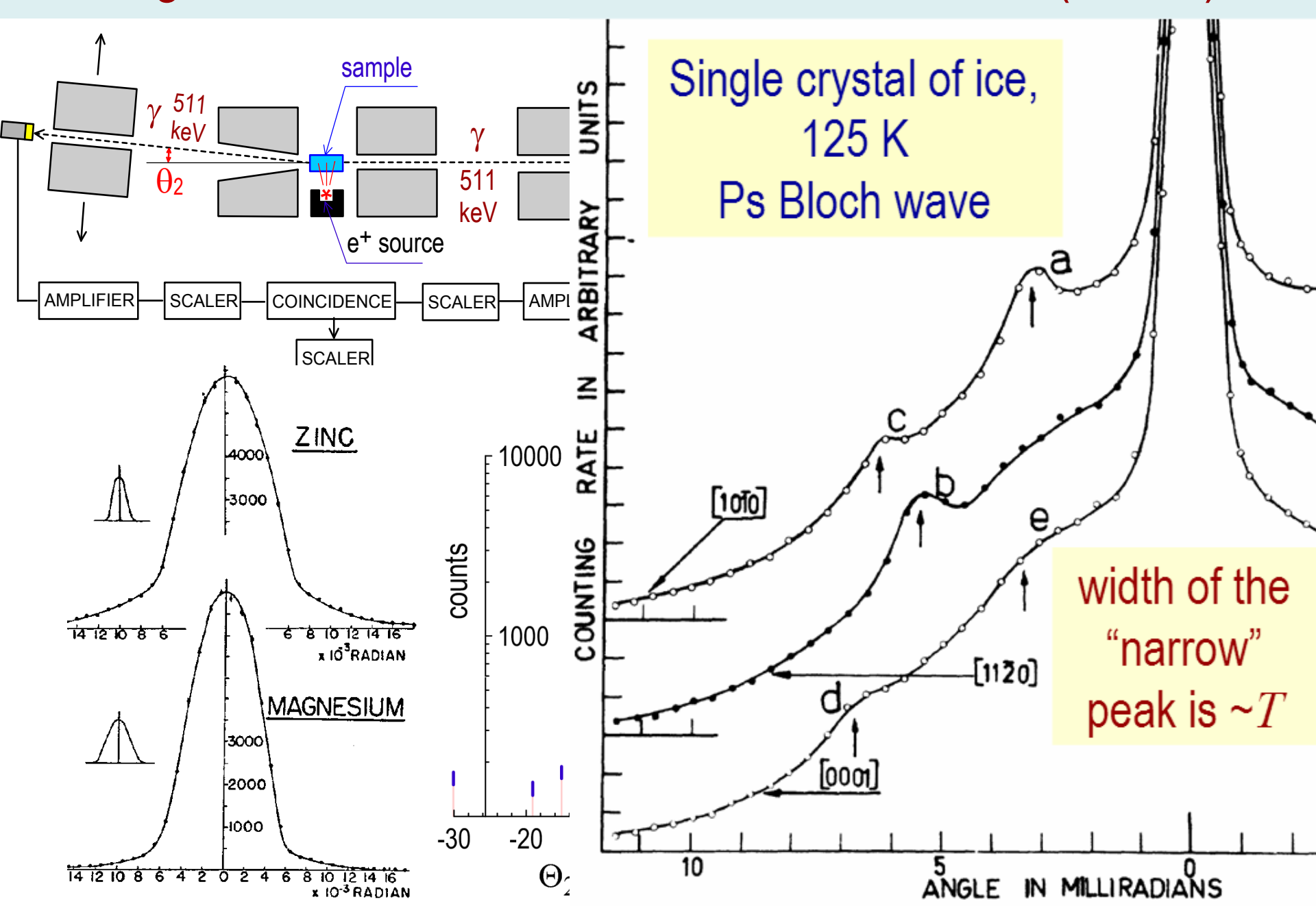
$$0.1 \lambda_{bulk} \sim 4\pi D_{+}R c_{d}$$

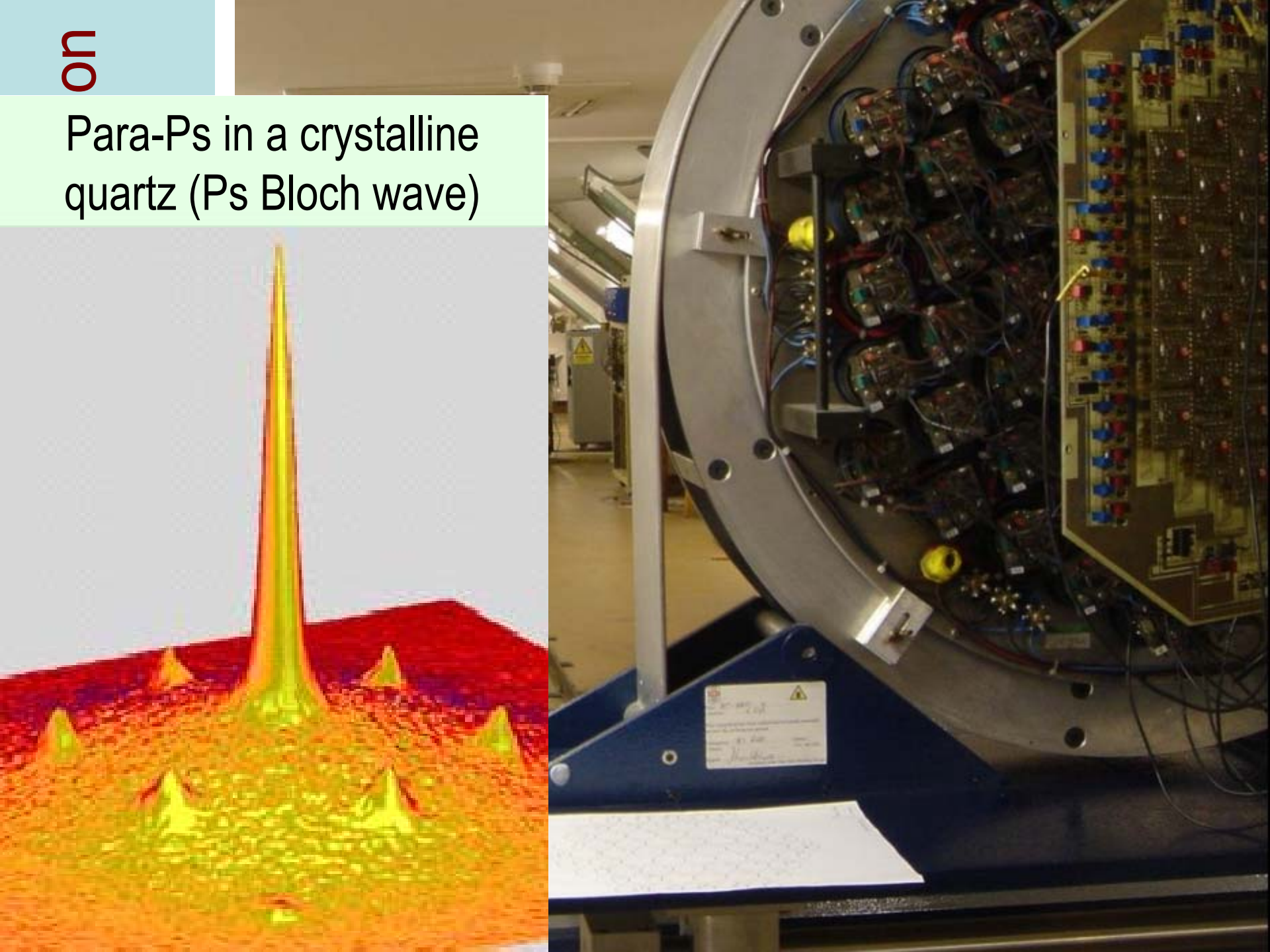
 $D_+ \sim \lambda v_{th}/6 \sim 1 \text{ cm}^2/\text{c}$ - коэффициент диффузии e⁺; $v_{th} = 10^7 \text{ cm/c}$; R - радиус захата позитрона дефектом (примем, что он равен $\lambda = 2\pi \hbar/mv_{th} = 60 \text{ Å}$ дебройлевской длине волны теплового e⁺); c_d - концентрация дефектов.

Отсюда находим, что $c_d \ge 10^{15}$ дефектов/см³.

Диффузионное смещение e⁺ за время его жизни $\sim (6D_{+}/\lambda_{bulk})^{1/2} \sim 2000 \text{ Å}$

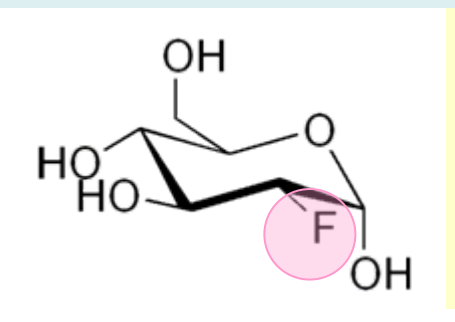
Angular Correlation of Annihilation Radiation (ACAR)





Positron Emission Tomography (PET, ΠЭΤ)

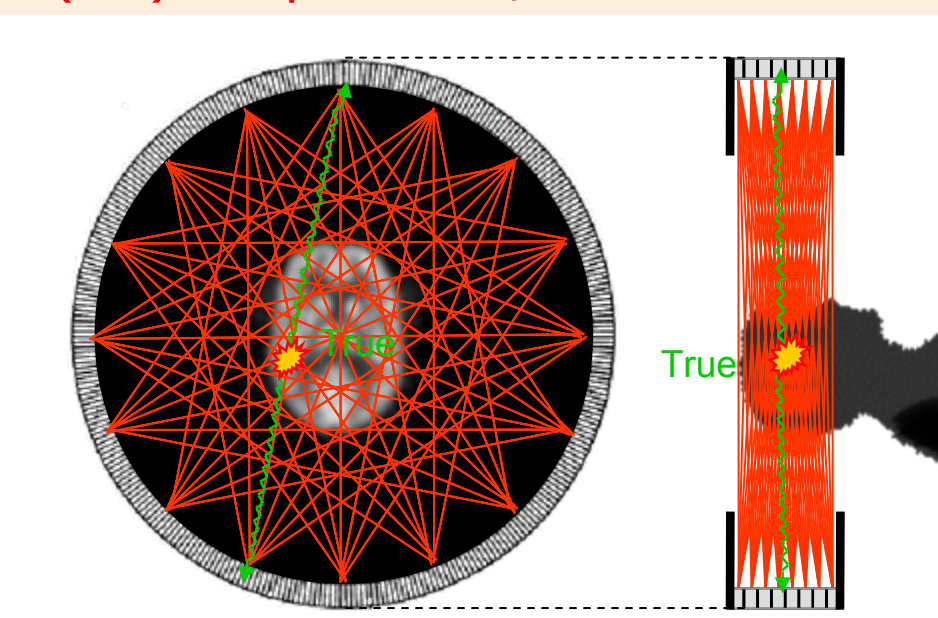
позволяет in vivo отслеживать распределение в организме радиофармпрепаратов - биологических соединений, меченных енизотопами



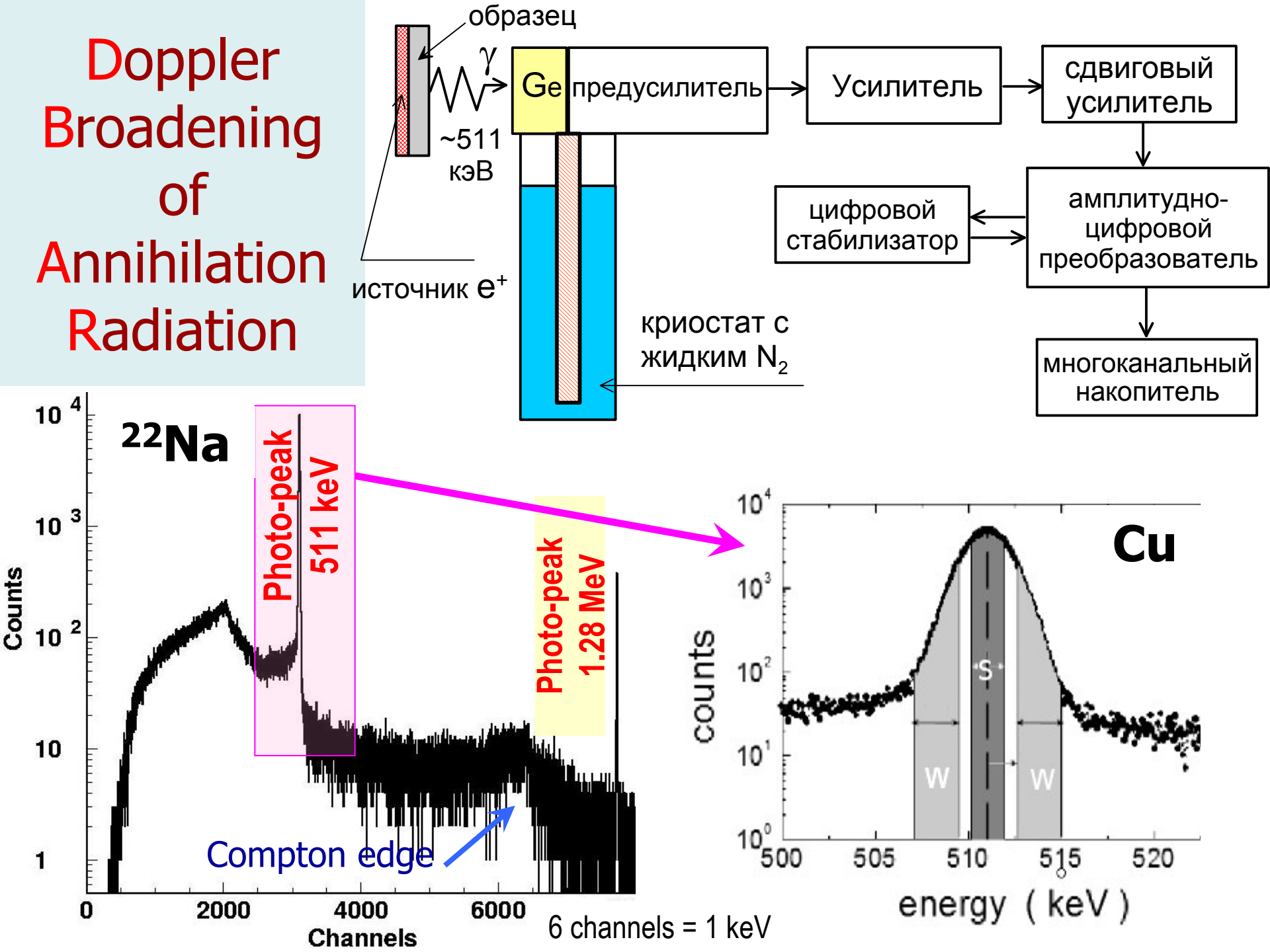
<= фтордезоксиглюкоза (18F-FDG) - аналог природной глюкозы, используется для визуализации опухолей (раковые клетки активно потребляют глюкозу).

 ^{18}F (T $^{1}/_{2}$ = 109 ,8 min; e+ mean energy 250 keV)

Для поиска опухоли пациенту внутривенно вводится активность 5-10 мКи = (2-4)•10⁸ распадов/сек.

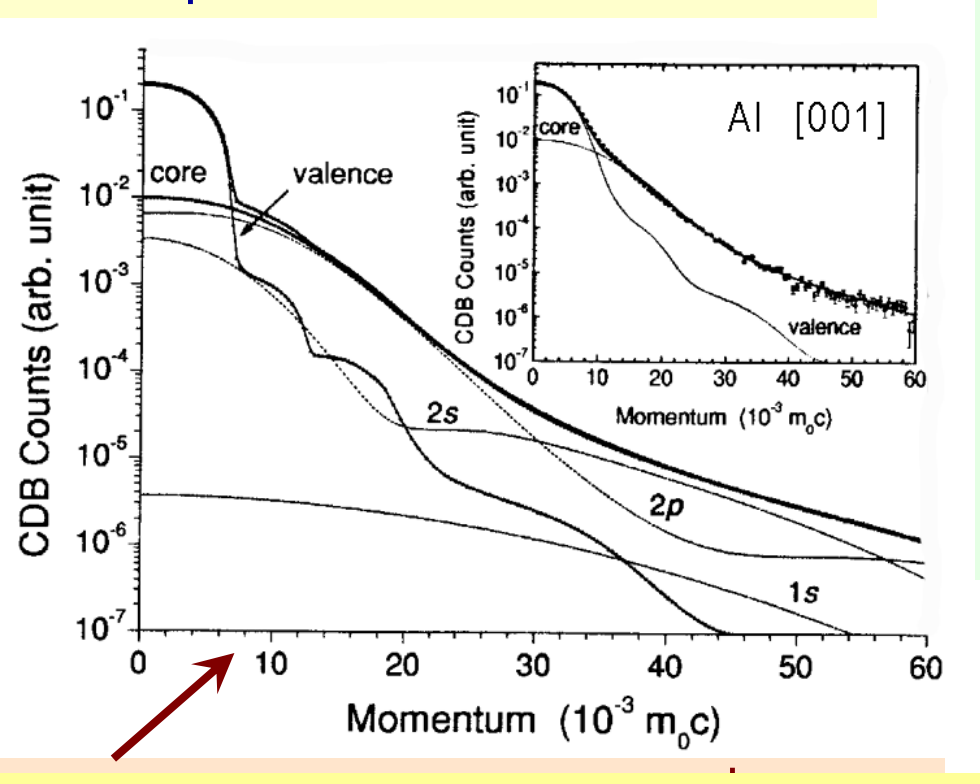


При этом лучевая нагрузка на все тело составляет 4-14 м3в. Радиационный фон на Земле = 1-10 м3в/год; $1 \text{ 3в} \approx 100 \text{ рад}$



Doppler Broadening of Annihilation Radiation

Монокристаллический алюминий

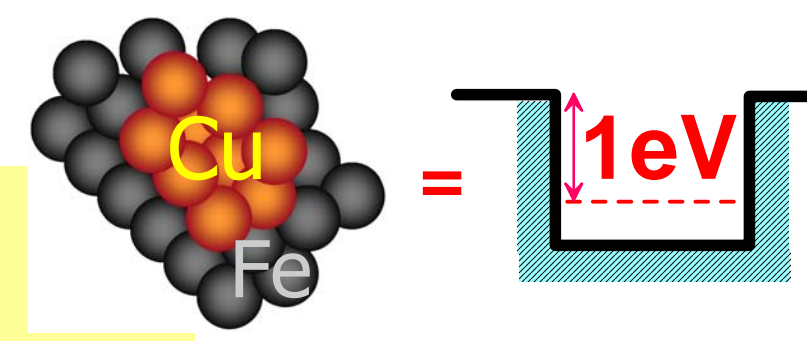


Доплеровские спектры разных элементов отличаются в меру различия энергий электронов вещества (на «крыле» -- внутренних «коровых» электронов). Чтобы увидеть эту разницу, «делим» поканально один

спектр на другой.

В Си кластерах (>1 нм) энергия e+ниже на ~ 1 эВ. Они захватывают e+

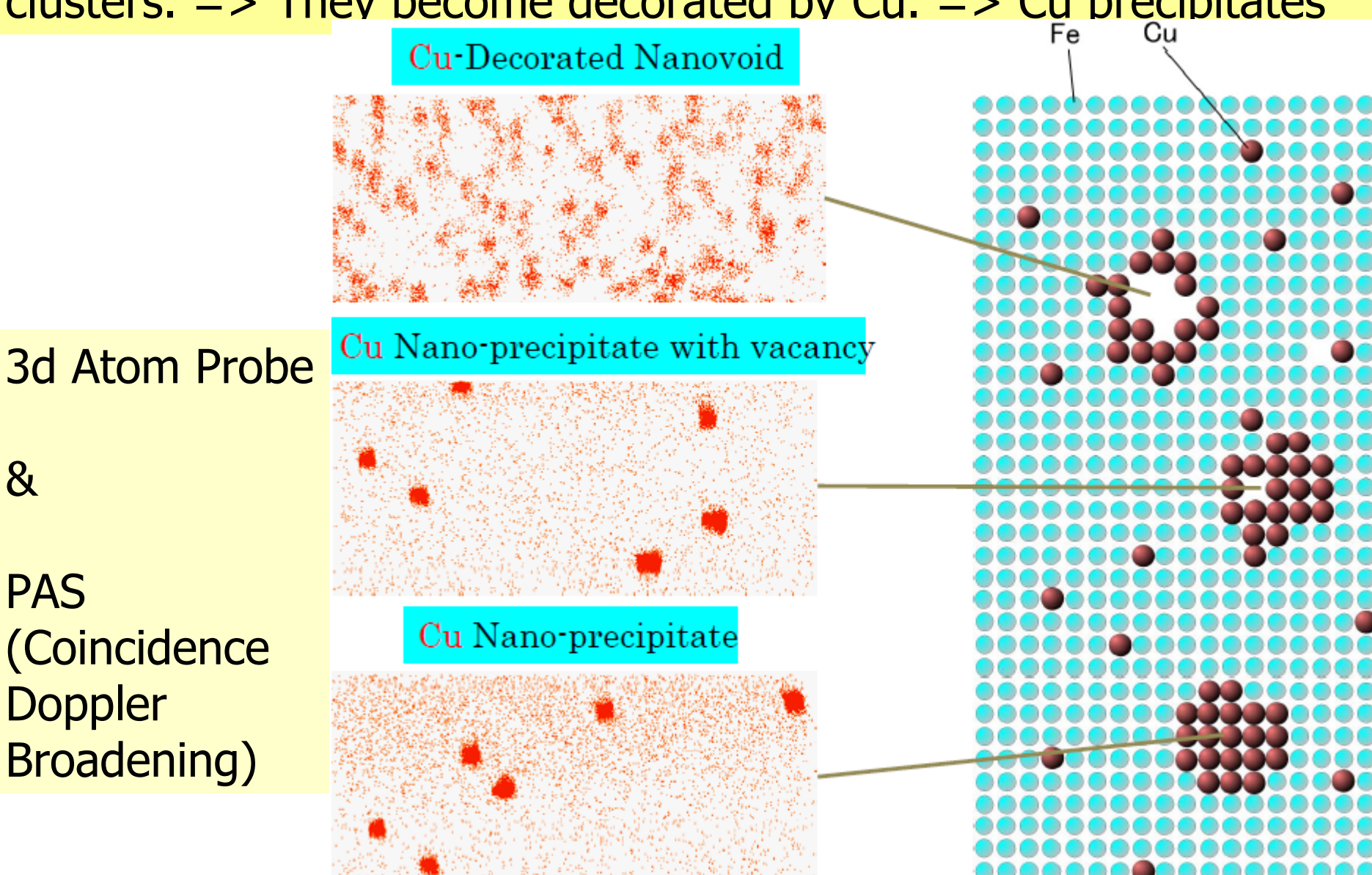
Времена жизни e+ в Fe и Cu одинаковые, а энергии «коровых» эл-нов разные => доплеровская спектроскопия



 $\tau_{\rm bulk}({\rm Fe}) \approx 107 \; {\rm ps}$ $\tau_{\rm bulk}({\rm Cu}) \approx 113 \; {\rm ps}$

Formation Cu precipitates in Fe+0.3w%Cu

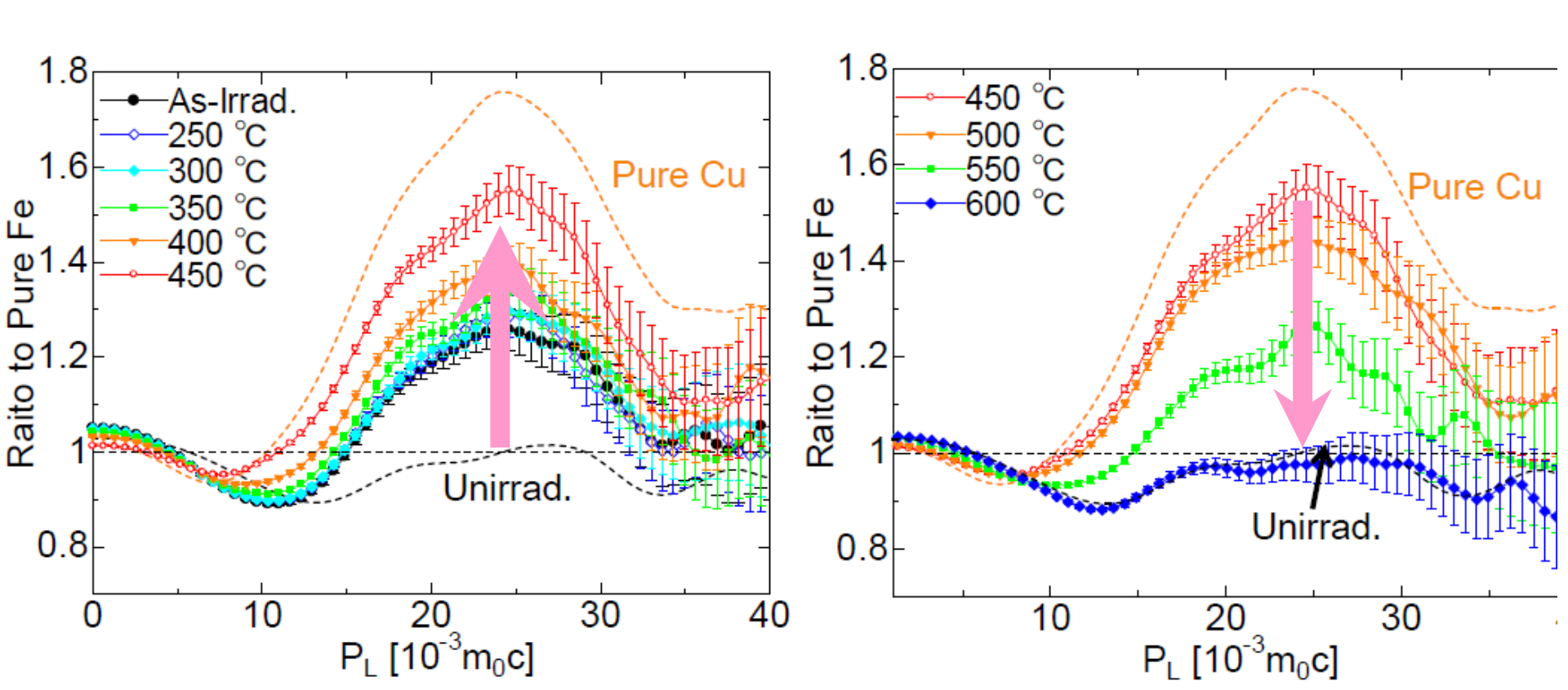
Neutron irradiation leads to accumulation of immobile vacancy clusters. => They become decorated by Cu. => Cu precipitates



«Крылья» доплеровского спектра чувствительны к хим. составу «ловушки», в которой аннигилирует е+

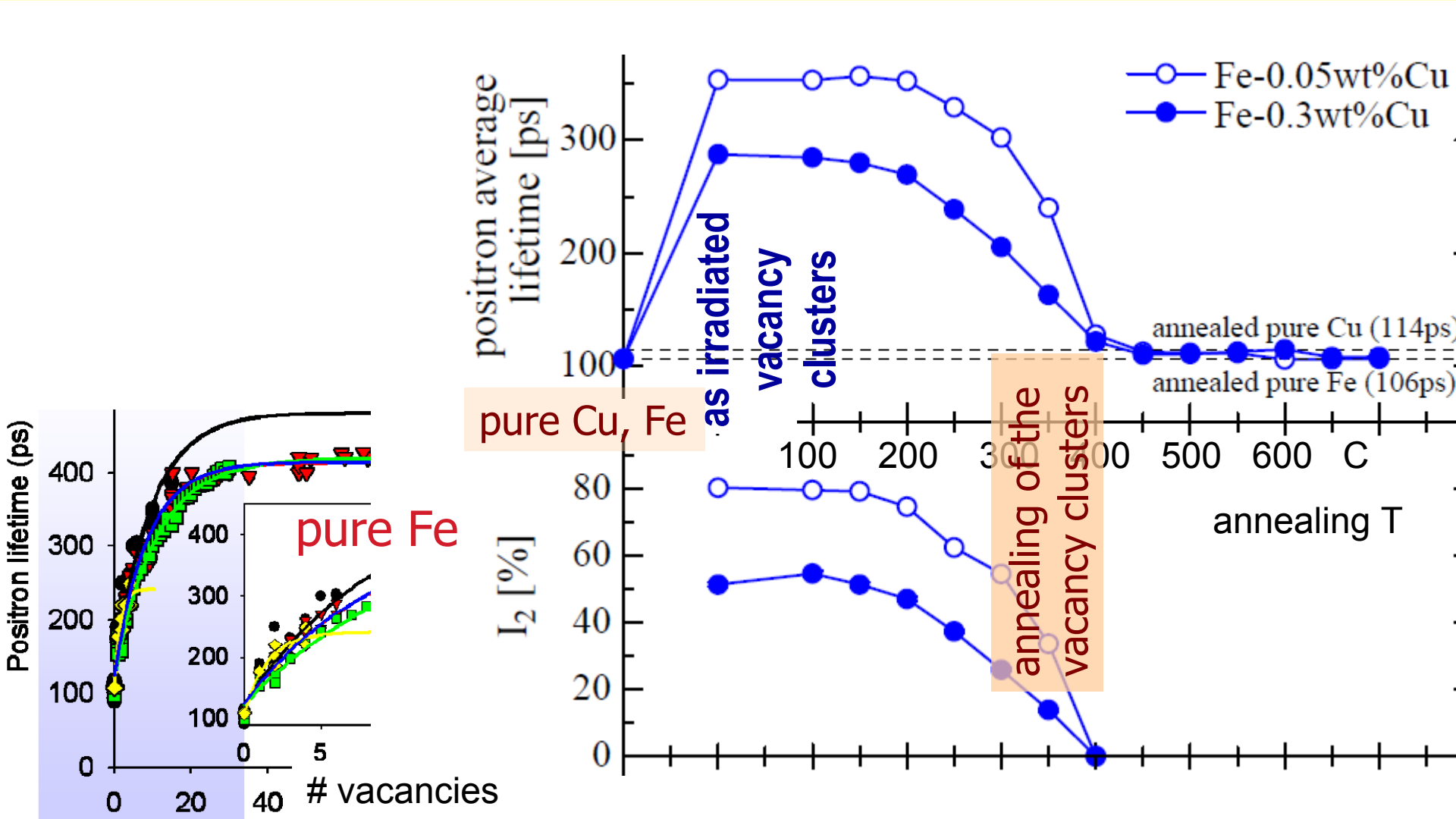
Делим поканально доплеровский спектр сплава на спектр чистого железа. Отличие спектров — из-за различия импульсов внутренних (коровых) электронов у Fe и Cu.

1^{st.} Gen. (0.16Cu) A533B, 3.9 × 10¹⁹ n/cm²

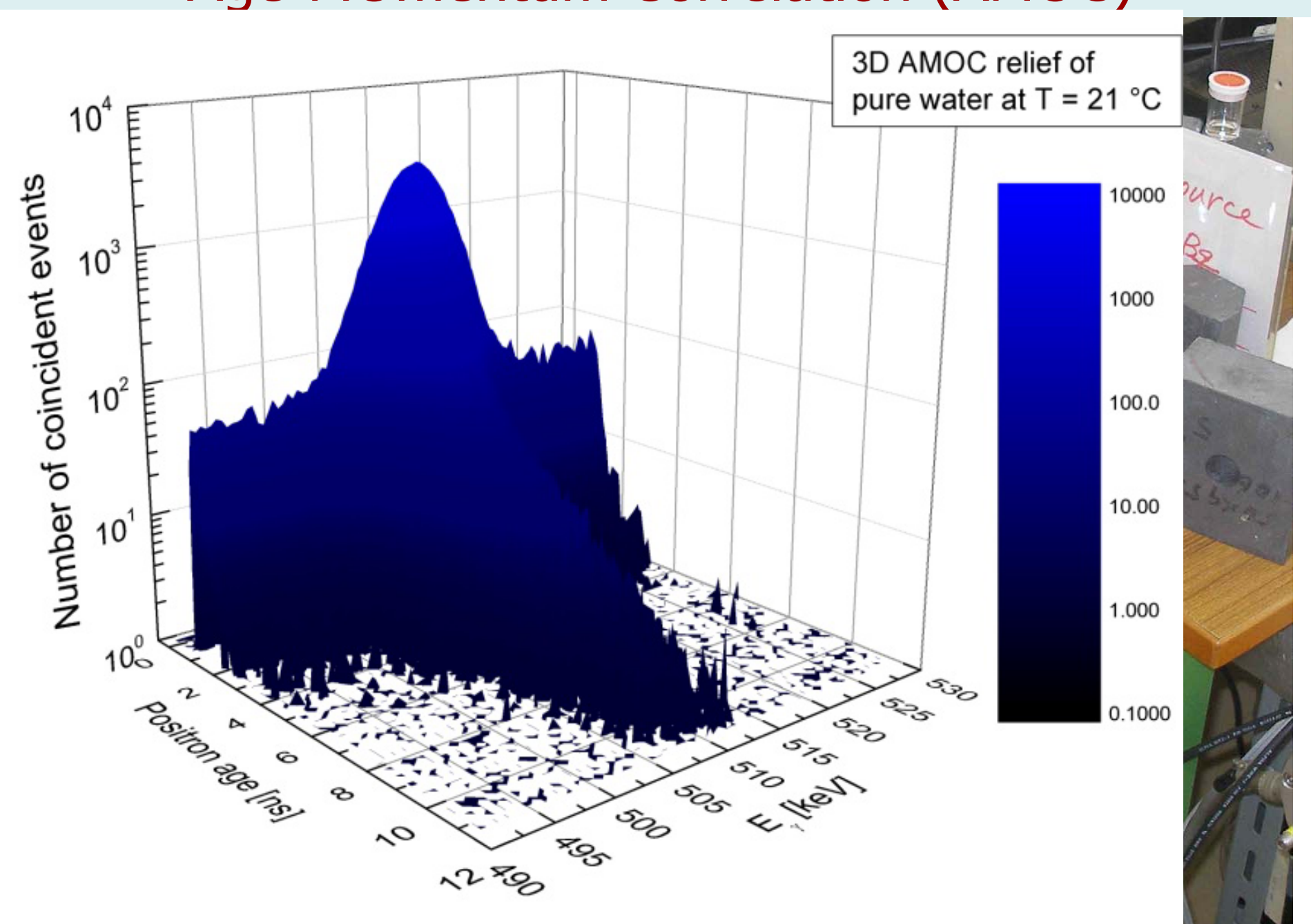


Fe-0.3wt%Cu + neutron irr. 10¹⁹ n/cm² (0.013 dpa; 100°C)

Удлинение времени жизни е+ в сплавах связано образованием радиационных дефектов вакансионного типа, которые отжигаются при повышенных температурах.



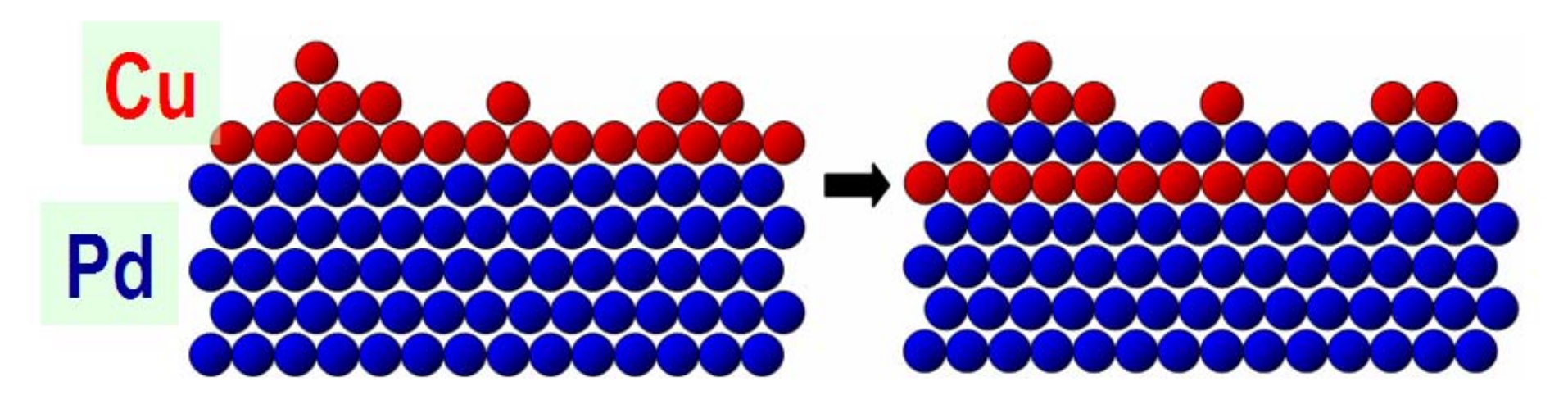
Age-MOmentum Correlation (AMOC)



Emission Auger-Electron Spectroscopy EAES PAES

Cu on Pd: Evolution of the surface

surface contamination, surface diffusion, segregation, topmost layer modification



$m_p + m_e$ $2m_e$

позитронии

Ry/2=6.8 9B

$$<\mathbf{r}_{ep}>=3a_{B}/2$$

Водород

энергия связи
$$E_b$$
: Ry=13.6 эВ
 спиновые состояния:

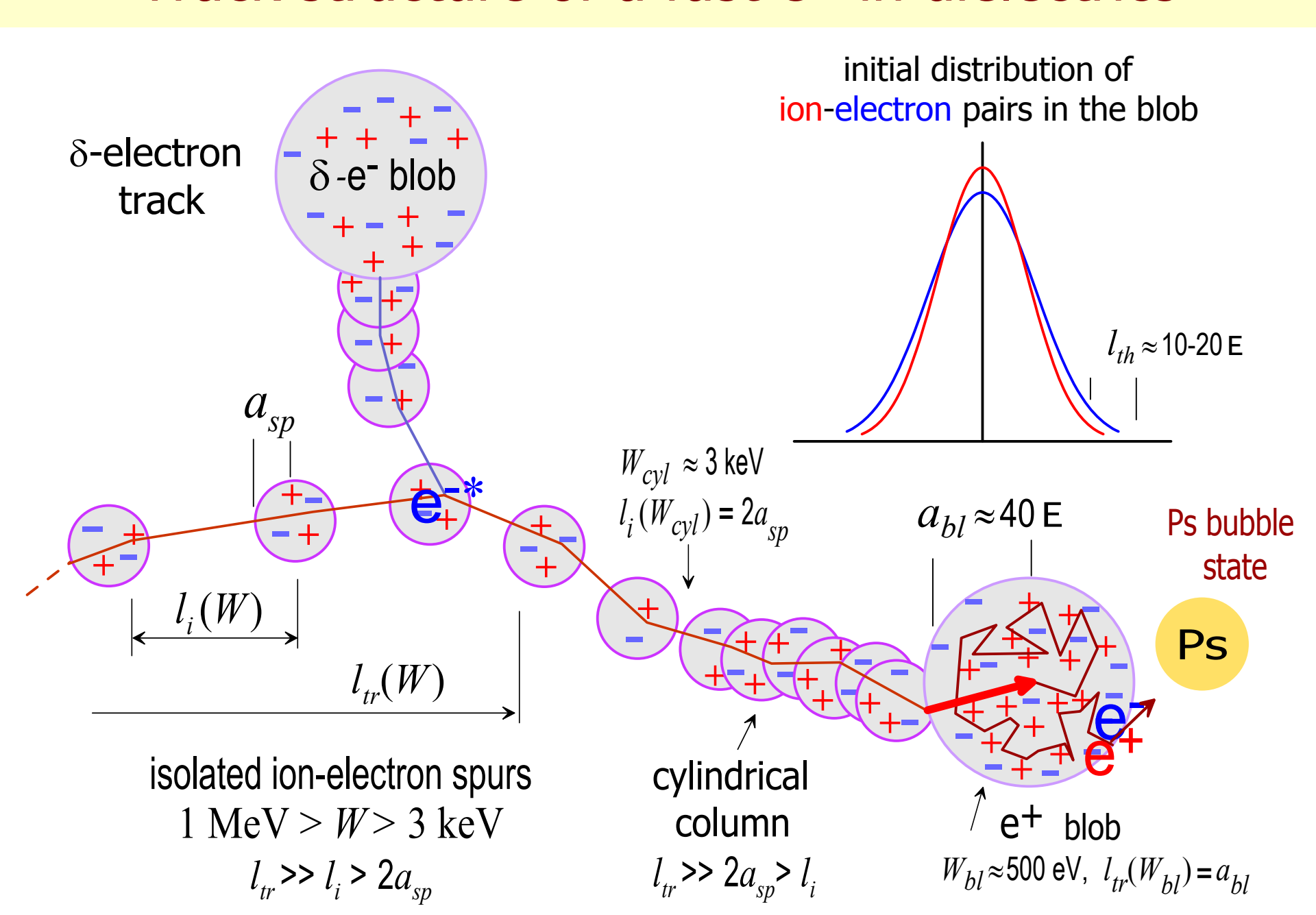
macca:

• диаметр:

пара-состояние ($\uparrow\downarrow$ спин=0): стабильно 125 пс (2γ) орто-состояние ($\uparrow\uparrow$ спин=1): стабильно 142 нс (3γ)

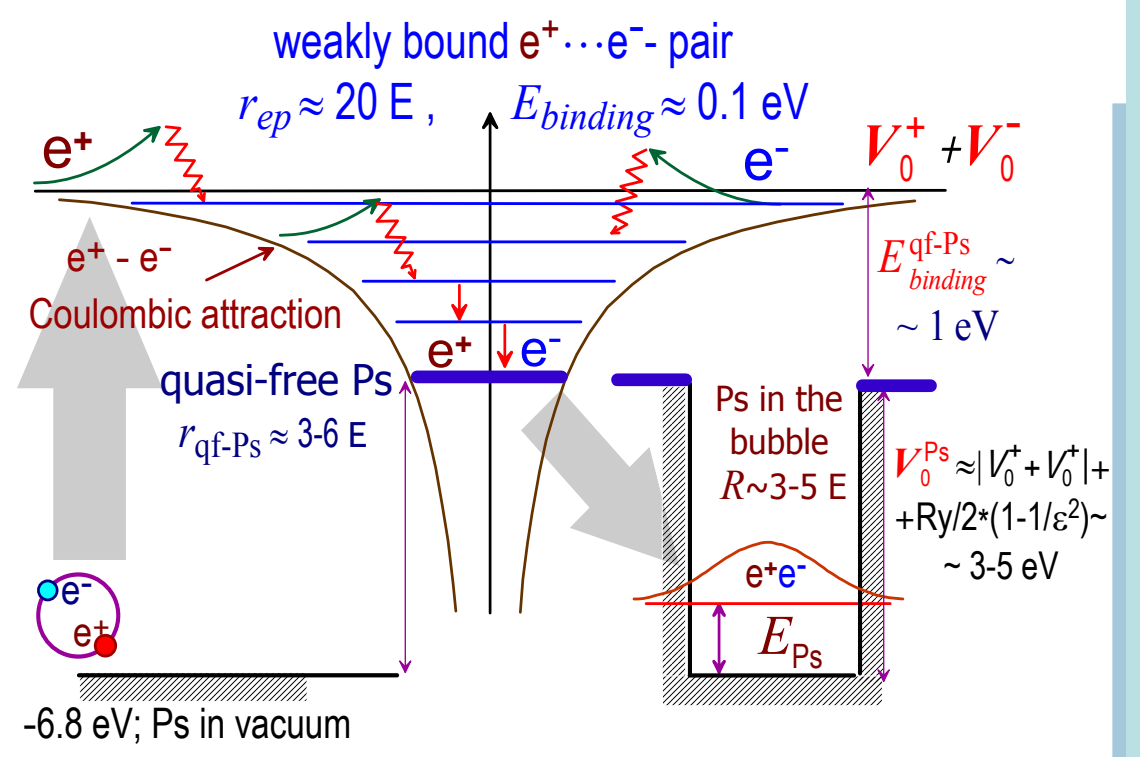
Сохр. заряд. четности:
$$(-1)^{(\text{спин} + \text{орбитальный момент})} = (-1)^{(\text{число фотонов})}$$
 Ps fingerprint — long lifetime component in LT spectrum: в среде время жизни орто-Ps $(\tau_{\text{oPs}} = \tau_{\text{pick-off}} = \tau_3)$ сокращается до нескольких наносекунд вследствие pick-off аннигиляции: $-\text{o-Ps}(\uparrow\uparrow) + \text{e}^-(\downarrow) \rightarrow 2\gamma + \text{e}^-(\uparrow)$

Track structure of a fast e⁺ in dielectrics



Внутритрековый мех-м образования Ps (ИТЭФ):

$$e^{+}_{qf} + e^{-}_{blob} \rightarrow e^{+}...e^{-} \rightarrow$$
 \rightarrow quasifree-Ps \rightarrow
 \rightarrow Ps in a bubble .



Сначала в результате комбинации термализованного е+ с одним из трековых е образуется слабосвязанная е+...епара. Сбрасывая энергию на возбуждение колебаний, она трансформируется в квазисвободный Ps. Последующий выигрыш энергии (уменьшение обменной и кулоновской энергий) достигается за счет реорганизации молекул среды, т.е. образования Ps пузырька.

Опускаем все физико-химические аспекты (из-за отсутствия времени):

- -- Пузырьковая модель (учет конечного размера атома Ps)
- -- Эффект локального повышения Т в треке e+. Premelting
- -- Кинетика роста Ps пузырька в жидких средах. На что при этом расходуется энергия? И какая энергия?
- -- Внутритрековые реакции с участием атома Ps (окисление, ингибирование, орто-пара-конверсия)
- -- Влияние внешнего электрического поля
- -- Роль захваченных е при низких Т в полимерах
- -- Микрогетерогенность жидких смесей



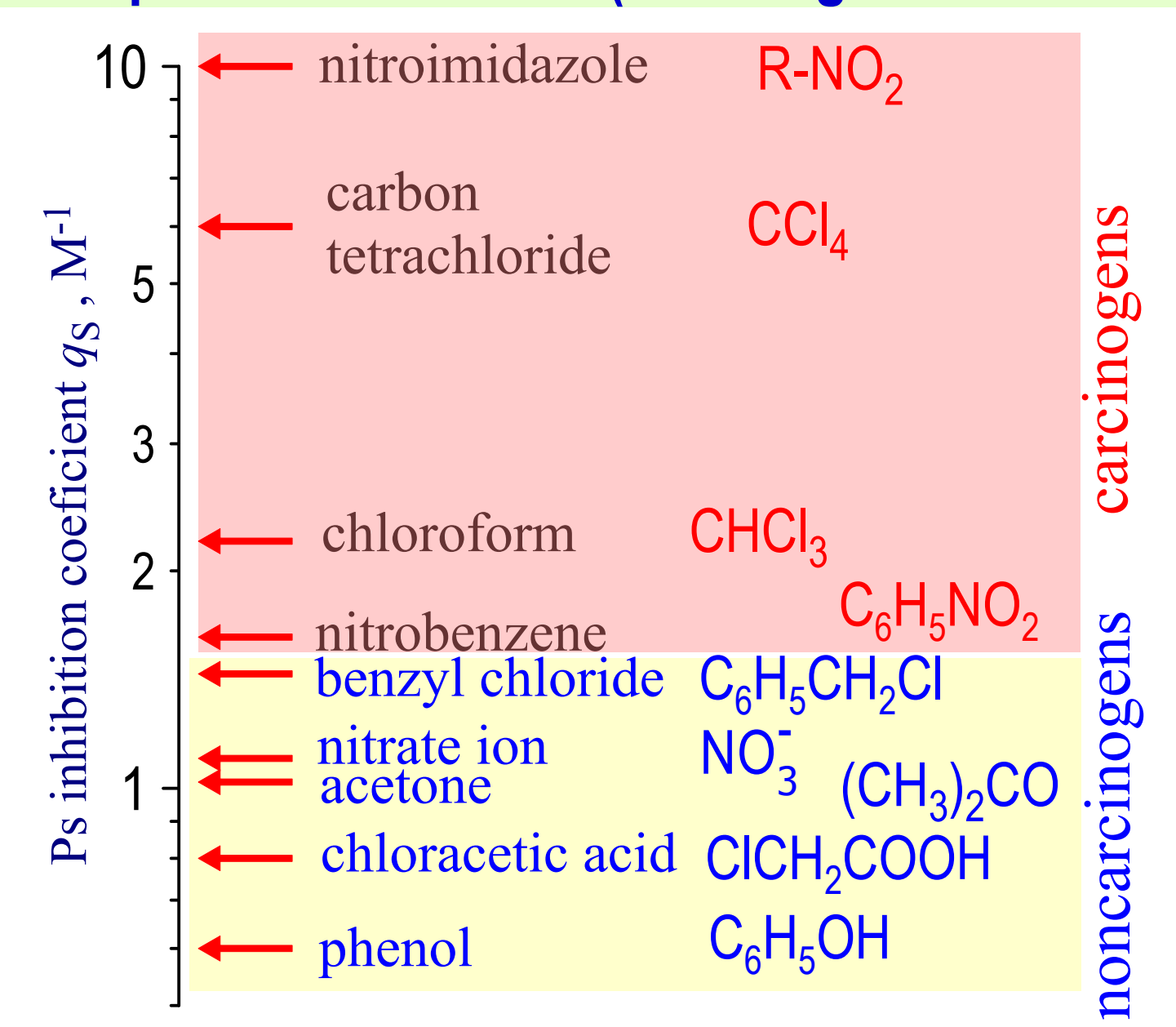
Elizabeth C. Miller Univ. of Wisconsin Medical Center In 1971-79 James and Elizabeth Miller established that the carcinogens are strong electron scavengers (S). So they have to efficiently inhibit Ps formation because of competition of the following reactions in the e+ blob:

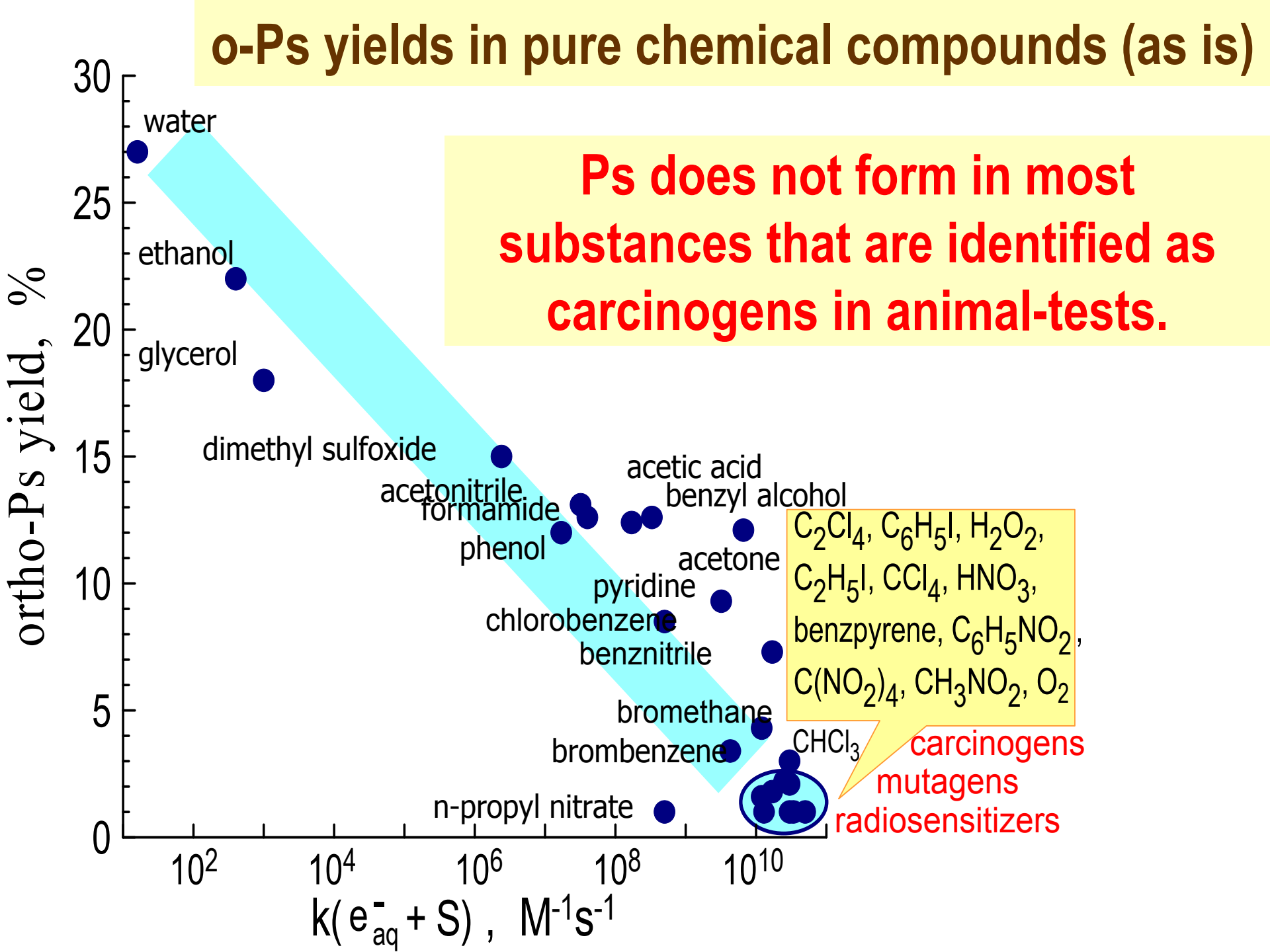
$$e^{+} + e^{-} = Ps$$

$$e^{-} + S = S^{-}$$

Therefore measuring Ps yeild under the presence of S, one may conclude about its carcinogenic activity.

Inhibition of Ps formation in ethanol by different compounds of track e- (carcinogens and noncarcinogens)





We have discussed only a small part of ...

..the Positron
Annihilation
Spectroscopy

Thank you!

Welcome for your questions, discussions, comments...

Хамелеоны Brookesia micra - самые маленькие рептилии на Земле. Живут на Мадагаскаре.

10 self-testing questions:

- -- How positrons may be generated in matter?
- -- What is the spin of e+ and Ps atom?
- -- Does the positron stable in vacuum? How long it lives in condensed matter?
- -- How much energy is released by a positron during its slowing down (in case of usage a radioactive e+ source)?
- -- Why vacancy usually traps e+?
- -- Why Ps atom does not form in metals (but only in dielectrics)?
- -- What electron is a precursor of Ps atom in matter?
- -- Why Ps forms a nanobubble in liquids?
- -- How e+ emitters are usually delivered to a cancer tissue?